

# СПЕКТР НИЗКОЭНЕРГЕТИЧЕСКИХ (2 – 10 мэВ) КОЛЕБАТЕЛЬНЫХ ВОЗБУЖДЕНИЙ СТЕКОЛ В ДИСКЛИНАЦИОННОЙ МОДЕЛИ

*В.Н.Новиков*

Показано, что колебания, локализованные на линейных топологических дефектах в стеклах могут обуславливать наблюдаемую избыточную по сравнению с дебаевской плотность колебательных состояний (ПКС) в диапазоне энергий 2 – 10 мэВ. В этом подходе найдены спектры ПКС и неупругого рассеяния света на колебаниях в согласии с недавними экспериментальными результатами.

Колебательные спектры кристаллов и стекол наиболее сильно отличаются в области низких энергий  $E < 8 \div 10$  мэВ. В стеклах при энергии  $2 \div 10$  мэВ плотность колебательных состояний (ПКС) превышает дебаевскую (вычисленную по известной из эксперимента скорости звука) в несколько раз.<sup>1</sup> Эта особенность проявляется в избыточной теплоемкости и плато в теплопроводности при  $T \sim 10 \div 30$  К, в спектрах ИК-поглощения и неупругого рассеяния света<sup>2</sup>.

В настоящей работе предложена модель для колебательных возбуждений, ответственных за эти аномалии.

Недавно было обнаружено, что спектры избыточной ПКС, а также соответствующий спектр неупругого рассеяния света, имеют универсальную форму в целом ряде разных стекол<sup>3, 4</sup>. Это свидетельствует об универсальном характере элементов структуры, ответственных за обсуждаемые аномалии.

Как показано в данной работе, нейтронные и рамановские спектры стекол в низкоэнергетической области хорошо описываются в предположении, что дополнительные колебательные возбуждения локализованы на линейных объектах размером  $L \sim 30$  Å замкнутых в петли. Наличие таких топологических дефектов структуры является основой дисклинационной модели стекла<sup>5</sup>, где они ассоциируются с линией, проходящей через 5-ти или 7-ми численные кольца связей. Известно, что такие линии (*odd lines*), генетически связанные с дисклинациями, не могут обрываться внутри стекла, а либо образуют петли, либо выходят на поверхность<sup>6</sup>. Упругие свойства материала вблизи дисклинационной петли должны, очевидно, заметно отличаться от средних значений, что и служит основой для появления локализованных на петле колебаний. Отметим, что собственные колебательные моды 2-х мерного дефекта—поверхности микрокристаллов диаметром  $30 \div 60$  Å, выращенных внутри матрицы стекла того же или иного состава, хорошо видны в спектрах неупругого рассеяния света<sup>7, 8</sup>.

В качестве исходной модели рассмотрим ансамбль хаотически расположенных упругих петель длиной  $L \gg a$  ( $a$  – характерное межатомное расстояние). Найдем ПКС возбуждений, локализованных на петлях. ПКС  $d$ -мерных колебаний в дебаевском приближении имеет вид:  $g(E) \propto E^d - 1$ . Для одномерных объектов это константа, равная в нашем случае

$$g_1^0 = \alpha / a^3 E_D . \quad (1)$$

где  $E_D$  – дебаевская энергия,  $\alpha$  – доля атомов принимающих участие в локализованных на петлях колебаниях. Из экспериментальных данных по ПКС<sup>3, 4, 9</sup> следует, что интегрально избыточная ПКС в низкоэнергетической области составляет 10 – 15% от полной ПКС, т. е.  $\alpha \sim 0,1 \div 0,2$ . Характерной, и одной из наиболее важных черт рассматриваемой модели является то, что спектр колебаний петель обрезан снизу энергией  $E_0$ , где  $E_0 \sim 2\pi v/L$ ,  $v$  – скорость звука. Таким образом, рассматриваемая одномерная ПКС описывается ступенчатой функцией  $g_1(E) = g_1^0 \theta(E - E_0)$ , которую необходимо усреднить с гауссовой функцией распределения для каждой моды, чтобы учесть разброс по размерам и форме петель (при этом становится несущественной дискретность наиболее низколежащих мод):

$$\overline{g}_1(E) = \frac{1}{\sqrt{2\pi\Delta^2}} \int_{E_0}^{\infty} dE g_1^0 \exp \left[ -\frac{(E-E_0)^2}{2\Delta^2} \right]. \quad (2)$$

Функция  $\overline{g}_1(E)$  показана на рис. 1. Оценка для дисперсии  $\Delta \sim E_0/\sqrt{L/a}$  оказывается близкой к значению  $\Delta \approx 1/3E_0$ , полученной из условия наилучшей подгонки экспериментальных кривых. Поскольку  $\overline{g}_1(E)$  обеспечивается лишь малой долей ( $\alpha \sim 0,1$ ) от полного числа атомов, то в полную ПКС она входит в первом приближении аддитивно:  $g(E) = \overline{g}_1(E) + g_3(E)$ , где  $g_3(E) = 3E^2/E_D^3$  – 3-мерная дебаевская ПКС. На рис. 2 а видно хорошее согласие данной модели для ПКС с экспериментальными кривыми.

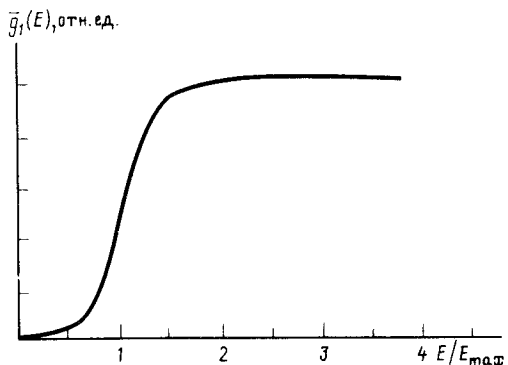


Рис. 1. Усредненная ПКС для одномерных дефектов ( $\Delta/E_0 = 1/3$ ).

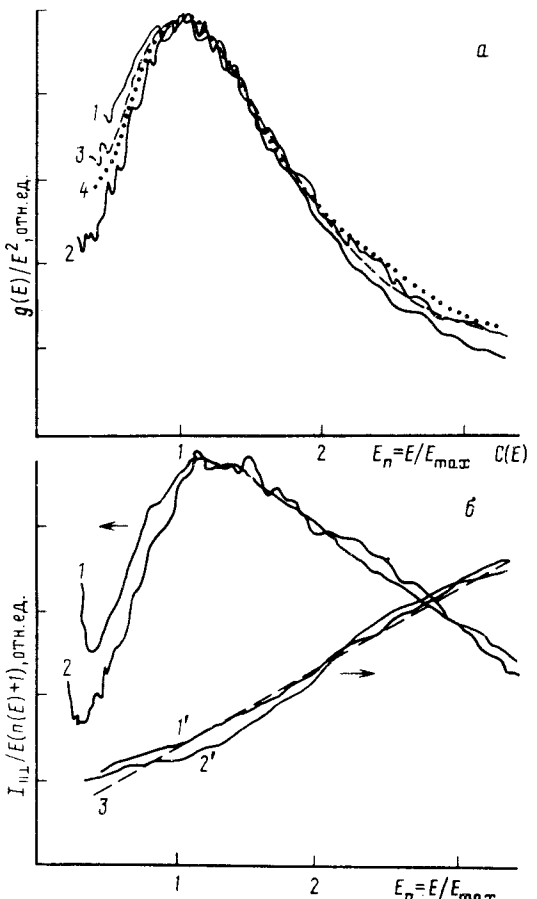


Рис. 2. а) Отношение низкоэнергетической ПКС к дебаевской в масштабе энергий  $E/E_{max}$ . Амплитуда пика нормирована на единицу. 1, 2, 3 – экспериментальные спектры для стеклообразных  $As_2S_3$ ,  $SiO_2$  и  $Mg_{70}Zn_{30}$  соответственно. 4 – теоретическая кривая. б) Низкоэнергетические спектры КРС стекол  $As_2S_3$  (1) и  $SiO_2$  (2); Зависимость  $C(E)$  для  $As_2S_3$  (1') и  $SiO_2$  (2'). Прямая линия – линейная зависимость  $C(E) \propto E$

Обратимся теперь к данным по неупругому рассеянию света на рассматриваемых колебаниях. В низкоэнергетической области интенсивность рассеяния  $I(E)$  демонстрирует пик (т. н. бозонный пик), отражающий пик в ПКС <sup>2</sup>. Согласно модели Шукера – Гамона <sup>10</sup> интенсивность рассеяния света в стеклах

$$\frac{EI(E)}{n(E) + 1} \approx C(E)g(E),$$

где  $n+1$  – бозевский фактор,  $C(E)$  – квадрат матричного элемента взаимодействия света с колебаниями. Для рассеяния на фононах  $C(E) \propto E^2$  <sup>2</sup>. В районе бозонного пика согласно недавним экспериментальным результатам <sup>4</sup>  $C(E) \propto E$  (рис. 2 б).

Для рассеяния света локализованным на  $d$ -мерном дефекте колебанием оценка метрического элемента дается выражением

$$M = \int P_{ikjl} \epsilon_i \epsilon'_k e^{i\mathbf{k}\mathbf{r}} \nabla_j \psi_l(r) e^{-i\mathbf{k}'\mathbf{r}} d^d r, \quad (3)$$

где  $P_{ikjl}$  – упругооптические контакты для рассматриваемых колебаний,  $\epsilon, \mathbf{k}$  и  $\epsilon', \mathbf{k}'$  – вектора поляризации и импульса падающей и рассеянной световых волн соответственно,  $\psi_l$  – волновая функция колебательного возбуждения. В (3)  $|k - k'|L \sim L/\lambda_{\text{света}}$  и  $\nabla \psi \sim \frac{1}{L} \psi$ , где  $L$  – характерный размер дефекта. Учитывая нормированность  $\psi$ ,  $\int d^d r |\psi_l|^2 = 1$ , так что  $\psi_l \propto L^{-d/2}$  в результате получаем следующую оценку:

$$M \propto \int d^d r \frac{1}{L} \psi \propto L^{\frac{d}{2}-1}. \quad (4)$$

Поскольку низшие колебательные моды имеют энергию  $E \sim 2\pi\nu/L$ , то  $M \propto E^{1-d/2}$  и для некогерентных колебаний усредняя по объему получаем  $|M|^2 \propto E^{2-d}$ . Одномерный случай  $d=1$  дает наблюдающуюся в эксперименте зависимость  $C(E) \propto |M|^2 \propto E$  (рис. 2б).

Таким образом, рассмотренная модель правильно воспроизводит положение, амплитуду и спектральную форму низкоэнергетической ПКС в стеклах, а также соответствующий спектр комбинационного рассеяния света.

Автор благодарен В.К.Малиновскому и А.П.Соколову за полезные обсуждения.

#### Литература

1. Hunklinger S., Raychandhari A.K. In Progr. Low-Temp. Phys., v. IX, ed. D.F.Brawer. Amsterdam, Elsevier, 1986.
2. Jäckle J. In Amorphous Solids: Low-Temperature Properties. Berlin, Springer, 1981.
3. Землянов М.Г. и др. Письма в ЖЭТФ, 1989, **49**, 521.
4. Malinovsky V.K. et al. Europhys Lett., 1989.
5. Venkataraman G., Sahoo D. Contemp. Phys., 1985, **26**, 579.
6. Rivier N. Phil. Mag. A 1979, **40**, 859.
7. Duval et al. Phys. Rev. Lett., 1986, **56**, 2052.
8. Malinovsky V.K. et al. Sol. St. Comm., 1988, **65**, 681.
9. Buchenau U. et al. Phys. Rev. B, 1986, **35**, 757.
10. Shuker R., Gammon R.W. Phys. Rev. Lett., 1970, **25**, 222.